

Геофизика и инжиниринг коллектора

Отображение зон гидроразрыва по данным пассивной наземной микросейсмической съемки. Imaging hydraulic fracture zones from surface passive microseismic data

Vladimir A. Kochnev,^{1*} Ilya V. Goz,¹ Vitaly S. Polyakov,¹ Issa S. Murtayev,² Vladimir G. Savin,² Boris K. Zommer,² и Ilya V. Bryksin² приводят некоторые примеры проведения пассивной микросейсмической съемки в России с целью картирования зон гидроразрыва.

В большинстве современных микросейсмических методов для картирования зон растрескивания пород при проведении гидроразрыва применяются скважинные системы наблюдений. Трехкомпонентные приемники размещаются в одной или нескольких расположенных поблизости скважинах. Регистрация должна проводиться в высокочастотном диапазоне (выше 100 Гц). (Rutledge et al. 2003, Li et al. 1998, Block et al. 1994, Meadows et al. 1994).

Местоположение микроземлетрясений вычисляется по зарегистрированным направлениям прихода волн и задержкам S-волн по отношению к P-волнам. Определить направление прихода волн зачастую непросто, особенно в условиях большого количества микроземлетрясений. Для надежного решения необходимо использовать приемники в нескольких скважинах.

Мы предположили, что большое количество микросейсмических событий малой интенсивности создают шумы с широким частотным диапазоном. Вначале реальный уровень интенсивности этих шумов не был очевиден, как и их потенциальная ценность для картирования зон растрескивания при гидроразрыве. Впоследствии было высказано предположение, что суммарный сигнал от множества микроземлетрясений достаточно силен для регистрации на больших удалениях.

В 2000 году "Хантымансиискгеофизикой" совместно с рядом исследовательских организаций были проведены работы по регистрации шумов в процессе гидроразрыва скважины на Восточно-Сургутском площади. Однако сильных событий обнаружить не удалось.

С тех пор основные усилия были направлены на разработку методов выявления слабых, но многочисленных сигналов на фоне сильных помех. Кроме существующих методов коррекции статики, фильтрации и отбраковки каналов (особенно тех, где были зарегистрированы сильные волны от поверхностных источников), мы разработали и применили специальные методы накапливания сигналов низкой интенсивности. Метод позволил нам успешно обнаружить зоны растрескивания и визуализировать процесс развития трещин.

Теория

Среда предполагается горизонтально-слоистой. Для определения времен прихода волн используется нулевое приближение лучевого метода с интерполяцией для промежуточных лучей. Общая идея алгоритма накапливания сигналов низкой интенсивности следующая. Сначала определим целевую зону поиска источников. Зона покрывается сеткой с постоянным шагом узлов. Для каждого узла сетки вычисляется параметр когерентности P_j :

1Russian Academy of Sciences. 2 Khatymanskiygeofizika.

*Correspondence: kochnev@jcm.krasn.ru.

© 2007 EAGE

$$P_j = \frac{\left(\sum_{i=1}^N A(t_{ij}) \right)^2}{N \sum_{i=1}^N A(t_{ij})^2}$$

где N – общее число (1) приемников, i – номер приемника, j – номер узла сетки, t_{ij} – время прихода волны, рассеянной в узле на приемник j , A – амплитуда,

зарегистрированная на сейсмограмме.

Для улучшения стабильности алгоритма необходимо применить некоторое осреднение параметра P_j по времени. При известной форме сигнала можно построить оптимальный алгоритм осреднения. Однако в случае гидроразрыва форма сигнала неизвестна. Таким образом, можно построить лишь субоптимальный алгоритм осреднения. Параметры P_j будут максимальны, когда время прихода для данного узла сетки совпадет со временем прихода для точки рассеяния. Следовательно, пространственное распределение P_j соответствует распределению источников слабых сигналов.

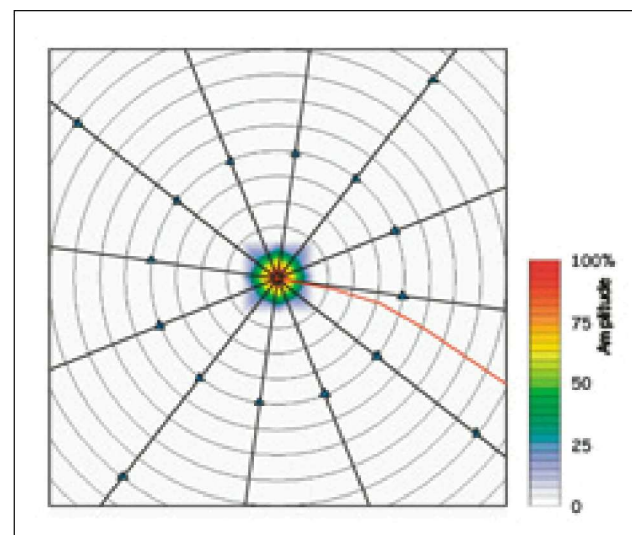
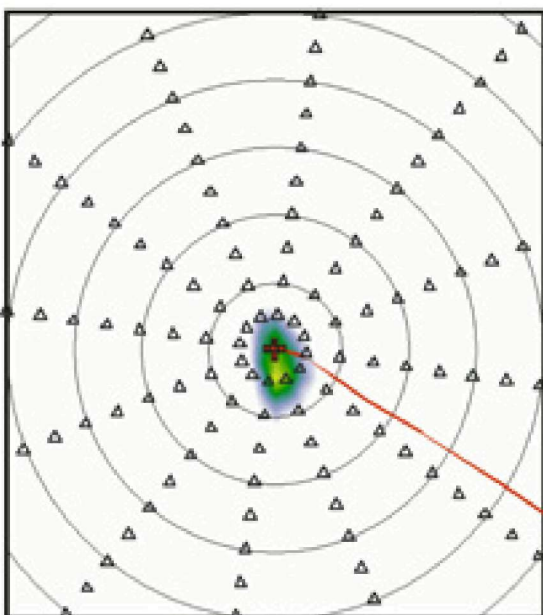
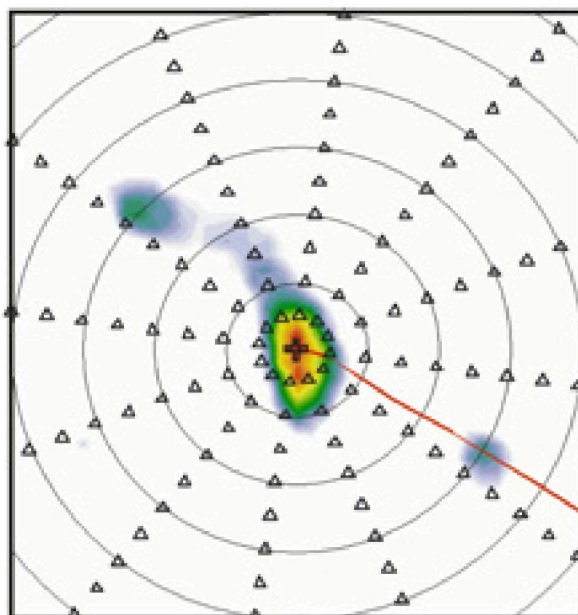


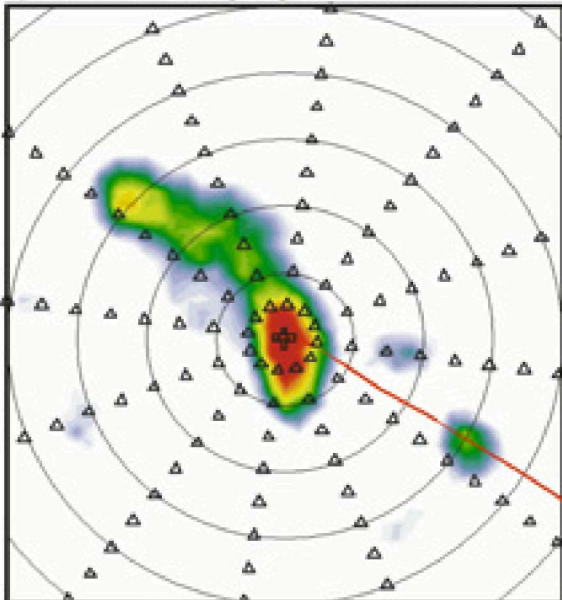
Рисунок 1 Калибровка алгоритма суммирования по перфорации скважины. Оранжевая линия – проекция ствола скважины.



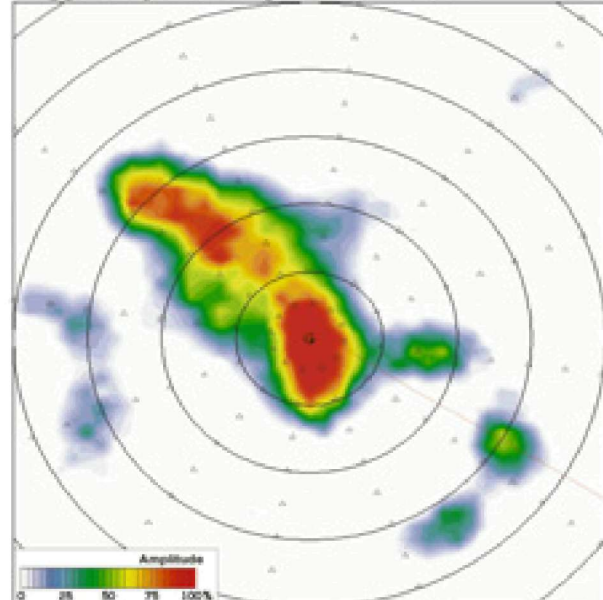
Hydraulic fracturing begins. T=1600 s.



Proppant injection begins. T=1950 s.



Proppant is forced into the layer. T=2300 s.



Map of the fully developed fracture. T=5200 s.

Рисунок 2 Пассивный сейсмический мониторинг гидроразрыва на глубине 2445 м., Западная Сибирь. Обратите внимание на асимметрию зоны растрескивания. а) Начало гидроразрыва, T=1600 с.; б) Начало нагнетания пропанта, T=1950 с.; в) Пропант нагнетается в слой, T=2300 с.; г) Окончательное изображение зоны растрескивания, T=5200 с.

Практическое применение

Анализ результатов предыдущих исследований и численного моделирования показывает, что оптимальная система наблюдений должна быть симметрична относительно точки закачки и иметь достаточное количество приемников. Обработав данные, полученные при наблюдениях на скважине Кониглорской площади, мы смогли определить зону растрескивания и направление развития трещин. (В

докладе была продемонстрирована динамическая визуализация процесса). Необходимо заметить, что исходные данные выглядят, как шум, и волн на них выделить не удается. события удалось обнаружить только с использованием специальных методов накапливания сигналов низкой интенсивности, которые резко повышают отношение сигнал-шум.

Геофизика и инжиниринг коллектора

На качество результатов сильно влияют скоростная модель, статические поправки и другие параметры. Алгоритм суммирования, таким образом, должен быть откалиброван и параметры адаптированы к конкретным условиям. В качестве калибровочного сигнала с большой интенсивностью и известным положением можно использовать перфорацию скважины перед гидроразрывом. Как показано на рис.1, алгоритм точно помещает источники сигналов вблизи точки перфорации. После проверки алгоритма

таким методом, мы можем перейти к обработке записей, сделанных во время закачки жидкости. На рис.2 показан пример обработки данных гидроразрыва на одной из скважин Восточной Сибири. Трешины распространяются в основном в северо-западном направлении. Опыт показывает, что зоны трещин, как правило, асимметричны относительно точки закачки.

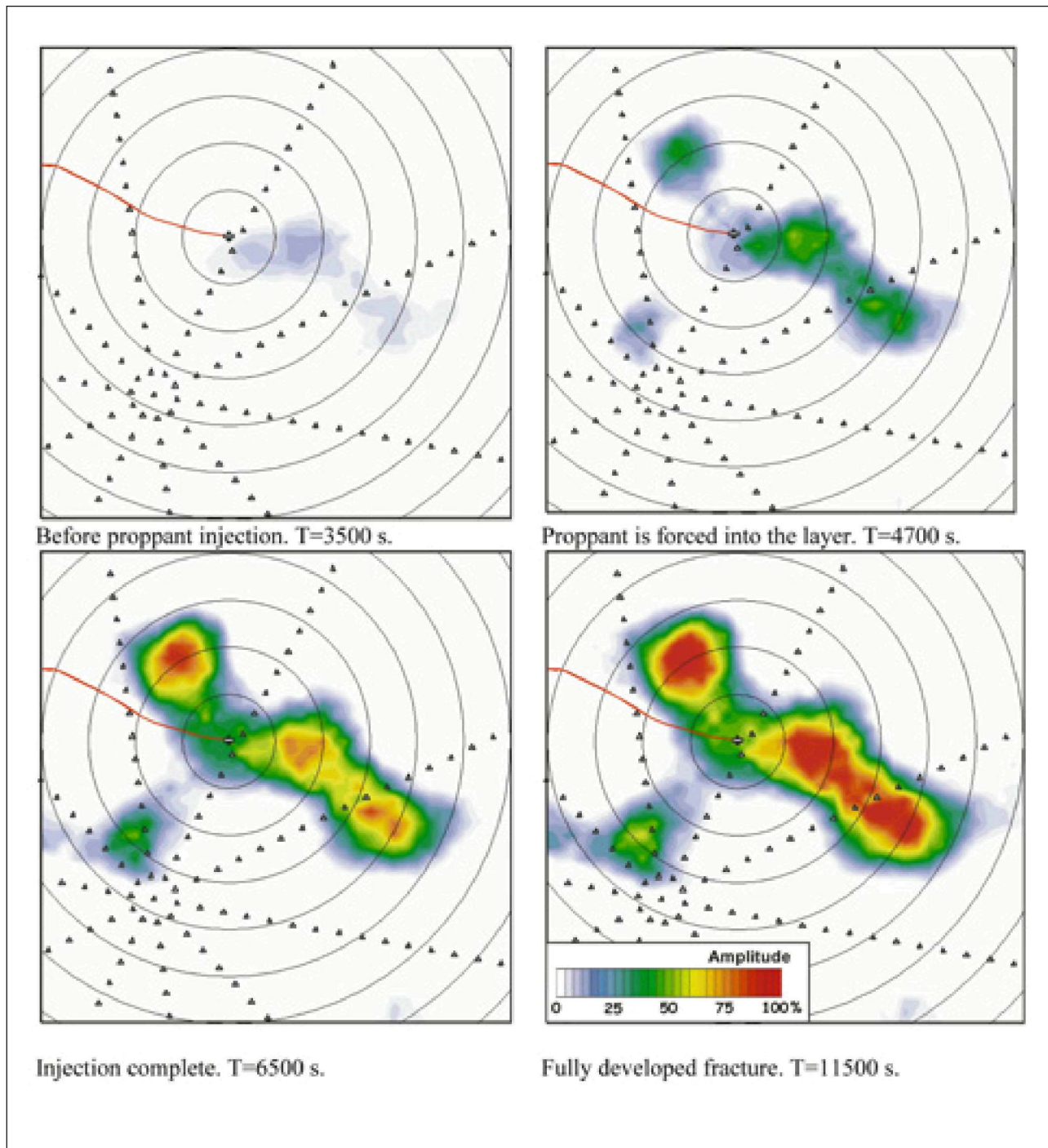


Рисунок 3 Еще один пример пассивного сейсмического мониторинга гидроразрыва на глубине 2490 м., Западная Сибирь. а) До введения пропанта, $T=3500$ с.; б) Пропант нагнетается в слой, $T=4700$ с.; в) Нагнетание пропанта завершено, $T=6500$ с.; г) Окончательное изображение зоны растягивания, $T=11500$ с.

Причиной этого могут быть геологические условия – проницаемость, плотность и другие свойства пород вблизи скважины.

Еще один пример показан на рис.3. Любопытно отметить, что в данном случае имеются две интенсивных зоны микросейсмической активности: одна на некотором расстоянии к северо-западу от точки закачки, другая к юго-востоку. Можно предположить, что из-за хорошей проницаемости пород закачанная жидкость распространяется на некоторое расстояние, не вызывая существенного растрескивания. Следует отметить также, что сейсмическая активность в зоне растрескивания продолжается в течение существенного времени после окончания закачки жидкости.

Заключение

Мы показали возможность регистрации микросейсмических событий во время гидроразрыва на дневной поверхности с использованием стандартного сейсморегистрирующего оборудования. Эти данные можно анализировать и использовать для определения положения источников. Оптимальная система наблюдений должна быть симметрична по отношению к точке закачки. Метод позволяет учитывать скоростную модель и статические поправки, что увеличивает надежность картирования зон растрескивания.

Литература

- Block, L.V., Cheng, C.H., Fehler, M.C., and Phillips, W. S. [1994] Seismic imaging using microearthquakes induced by hydraulic fracturing. *Geophysics*, 59, 11. Kochnev, V.A., Polyakov V.S., Goz I.V., Murtayev I.S., Savin V.G., and Zommer B.K. [2005] The method of seismic exploration for locating rock fracture zones during hydraulic fracturing. *Patent 2282876, Russian Federation.*
Li, Y., Cheng, H.C., and Toksoz, M.N. [1998] Seismic monitoring of the growth of a hydraulic fracture zone at Fenton Hill, New Mexico. *Geophysics*, 63, 1.
Meadows, M.A. and Winterstein D.F. [1994] Seismic detection of a hydraulic fracture from shear-wave VSP data at Lost Hills Field, California. *Geophysics*, 59, 11.
Rutledge, J. T. and Phillips, W. S. [2003] Hydraulic stimulation of natural fractures as revealed by induced micro-earthquakes, Carthage Cotton Valley gas field, east Texas. *Geophysics*, 68.